# 橡胶材料的混合高弹性本构模型研究

于海富,李凡珠,杨海波\*,张立群

(北京化工大学 有机无机复合材料国家重点实验室,北京 100029)

摘要:基于分子统计理论提出了一种适用于橡胶材料的混合高弹本构模型。采用修正Gaussian模型和修正8-链网络模型的非线性组合分别描述Gaussian变形和非Gaussian变形部分;对于微观层面上的分子链密度和宏观层面上的拉伸比,均将其分解为Gaussian变形和非Gaussian变形部分。不同拉伸模式下的应力-应变试验数据与Treloar数据的拟合对比证明了混合本构模型的适用性,经与Gaussian模型、3-链网络模型和8-链网络模型对比,其精确性有明显提高。

关键词:橡胶材料;非线性;高弹性;分子统计理论;本构模型

中图分类号: TQ330.1+2; O241.82 文献标志码: A 文章编号: 1000-890X(2018)-0000-05

橡胶材料因其良好的高弹性广泛应用于社 会生产,同时利用计算机模拟手段表征橡胶制品 的力学性能已得到越来越多人的认可[1]。因此橡 胶材料高弹性本构方程的研究具有重大意义。对 橡胶材料高弹性的理论研究通常可分为唯象理论 和统计理论两部分[2]。唯象理论是基于应变不变 量或拉伸比得到应变能函数。基于应变不变量的 典型模型包括Mooney-Rivlin模型[3]、Yeoh模型[4] 和Gent-Thomas模型[5]等,基于拉伸比的典型模型 包括Valanis-Landel模型<sup>[6]</sup>和Ogden模型<sup>[7]</sup>等。基 于唯象理论的本构模型已有很多研究[8-10]。统计 理论则由橡胶材料的微观结构出发,由分子链网 络构象熵的变化得到自由能的关系,进而与宏观 层面的拉伸比建立联系,得到最终的本构模型。 依据橡胶分子链末端距的径向分布函数是否符 合Gaussian函数,可将统计模型分为Gaussian链 网络模型和非Gaussian链网络模型[11]。典型的非 Gaussian链网络模型有3-链网络模型[12]、4-链网 络模型[13]和8-链网络模型[14]等。相比于3-链网 络模型和4-链网络模型只能描述单一变形模式下 的力学行为,8-链网络模型能较好地描述不同变 形模式下的力学行为。虽然非Gaussian链网络模 型能够预测大变形情况,但是在小变形下的预测 能力较差。因此,近年来出现了混合本构模型。

**作者简介**:于海富(1992—),男,内蒙古赤峰人,北京化工大学硕士研究生,主要从事橡胶本构方程方面的研究。

\*通信联系人

P. D. Wu等<sup>[15]</sup>提出了以3-链网络模型和8-链网络模型的线性组合来替代全网络模型, A. Elias-Zuniga等<sup>[16]</sup>进一步修正了该模型,但上述混合模型的基础是两个非Gaussian统计模型。

本工作采用修正Gaussian链网络模型与修正 8-链网络模型的非线性组合,建立了一种新的混合本构模型。

#### 1 本构理论

### 1.1 混合本构模型

对于橡胶材料而言,其高弹性可认为是熵弹性,即由于构象熵的变化所导致 $^{[17]}$ 。对于Gaussian链网络模型而言 $^{[2,11]}$ ,其单位体积构象熵 $(\Delta S_G)$ 的表达式如下:

$$\Delta S_{G} = -\frac{1}{2} nk (\lambda_{1}^{2} + \lambda_{2}^{2} + \lambda_{3}^{2} - 3)$$
 (1)

式中,n为分子链网络的分子链密度,k为Boltzmann 常数, $\lambda_i$  (i=1,2,3)为拉伸比。

对于8-链网络模型而言 $^{[2,14,16]}$ ,其单位体积构 象熵 $(\Delta S_N)$ 的表达式如下:

$$\Delta S_{\rm N} = k[c - N_8(\lambda_{\rm r}\beta + \ln\frac{\beta}{\sin\beta})]$$

$$\lambda_{\rm r} = \sqrt{\frac{\lambda_1^2 + \lambda_2^2 + \lambda_3^2}{3N_8}}$$
(2)

式中,c为常数, $N_8$ 为链段数, $\lambda_r$ 为相对链伸长,  $\beta$ 为Langevin函数 $L(\beta)$ 的逆函数,即: $\lambda_r = L(\beta)$ = $\coth \beta - \beta^{-1}$ 。

橡胶材料的变形从统计理论而言主要反映在

微观层面和宏观层面两方面。微观层面主要取决于构象熵,本工作主要考察单位体积分子链的数目即n的影响。而反映在宏观层面上,则主要考察  $\lambda$ 的影响。

由于将变形分解为Gaussian变形部分和非Gaussian变形部分,因此微观层面上的n也分为两部分。定义函数 $\varphi$ 表示n中非Gaussian部分所占比例,函数关系如下:

$$\varphi = bI_m \tag{3}$$

式中,b为常数, $I_m$ 为非Gaussian变形部分所主导的范围。

 $I_m$ 与最大应变量  $(\varepsilon_{\text{max}})$  的关系如下:

 $I_m = (1 + d\varepsilon_{\text{max}1})^2 + (1 + d\varepsilon_{\text{max}2})^2 + (1 + d\varepsilon_{\text{max}3})^2$  (4) 式中,d为常数,且d> $0_{\circ}$ 

对于宏观层面上的 $\lambda$ 同样分解为Gaussian变形和非Gaussian变形两部分,定义函数 $\rho$ 表示非Gaussian变形部分所占比例。考虑到橡胶材料处于小变形或大变形条件下时,分子链的变形状态分别趋近于Gaussian变形和非Gaussian变形。因此函数 $\rho$ 采用如下形式:

$$\rho = 1 - \left[\exp\left(-\frac{I_1}{I_m}\right)\right]^{\alpha} \tag{5}$$

式中, $\alpha$ 为常数, $I_1 = \lambda_1^2 + \lambda_2^2 + \lambda_3^2$ 。

由式(1)及(3)—(5)可得到混合模型中单位 体积Gaussian变形部分的构象熵:

$$\Delta S_{G} = -\frac{1}{2}n(1 - bI_{m})k[(1 - \rho)^{2}(\lambda_{1}^{2} + \lambda_{2}^{2} + \lambda_{3}^{2}) - 3]$$

由式(2)—(5)得到单位体积非Gaussian变形部分的构象熵:

$$\Delta S_{\rm N} = nbI_{\rm m}k[c - N_{\rm S}(\lambda_{\rm r}'\beta' + \ln\frac{\beta'}{\sin\beta'})] \tag{7}$$

其中 
$$\lambda_{\rm r}' = \rho \sqrt{\frac{\lambda_1^2 + \lambda_2^2 + \lambda_3^2}{3N_8}}$$
  $\beta' = L^{-1}\lambda_{\rm r}'$ 

由以下构象熵( $\Delta S$ )与自由能(W)的关系式(T为温度)<sup>[18]</sup>:

$$W = -T \Delta S \tag{8}$$

可分别得到Gaussian变形和非Gaussian变形部分的自由能函数:

$$W_{\rm G} = \frac{1}{2} (1 - bI_{\rm m}) \mu [(1 - \rho)^2 (\lambda_1^2 + \lambda_2^2 + \lambda_3^2) - 3] (9)$$

$$W_{\rm N} = bI_{\rm m}\mu N_{\rm S}(\lambda_{\rm r}'\beta' + \ln\frac{\beta'}{\sin\beta'}) - w_0 \tag{10}$$

式中, $w_0$ 为常数, $\mu=nkT_0$ 

对于Langevin函数的逆函数而言,不能找到它的闭型,故采用其近似式<sup>[19]</sup>,函数形式如下:

$$L^{-1}(\lambda_{\rm r}') \approx \frac{\lambda_{\rm r}'(3 - \lambda_{\rm r}'^2)}{1 - \lambda_{\rm r}'^2}$$
 (11)

因此,混合模型的自由能函数为:

$$W = W_{\rm G} + W_{\rm N} \tag{12}$$

#### 1.2 加载条件

橡胶材料通常被认为是不可压缩材料,主拉伸方向上Cauchy应力( $\sigma_i$ )与自由能的关系如下<sup>[20]</sup>:

$$\sigma_i = \lambda_i \frac{\partial W}{\partial \lambda_i} - pI \tag{13}$$

式中,p为静水压力,I为应变不变量,i=1,2,3。

在橡胶材料的力学性能测试中,常用到的加载模式主要有单轴拉伸(UT)、平面拉伸(PT)和等双轴拉伸(ET)<sup>[21]</sup>。因此,通过式(12)和(13)针对不同加载条件可得到相应的Cauchy应力如下:

$$\sigma_{\text{UT}} = (1 - bI_m)(1 - \rho)^2 (\lambda^2 - \lambda^{-1})(1 - 2I_1\alpha/I_m) + bI_m\mu\beta'(\lambda^2 - \lambda^{-1})[\frac{\rho}{3\lambda_r'} + \frac{2N_8\lambda_r'\alpha(1 - \rho)}{I_m}] \quad (14)$$

$$\sigma_{\text{PT}} = (1 - bI_m)(1 - \rho)^2 (\lambda^2 - \lambda^{-2})(1 - 2I_1\alpha/I_m) + bI_m\mu\beta'(\lambda^2 - \lambda^{-2})[\frac{\rho}{3\lambda_r'} + \frac{2N_8\lambda_r'\alpha(1 - \rho)}{I_m}] \quad (15)$$

$$\sigma_{\text{ET}} = (1 - bI_m)(1 - \rho)^2 (\lambda^2 - \lambda^{-4})(1 - 2I_1\alpha/I_m) + bI_m\mu\beta'(\lambda^2 - \lambda^{-4})[\frac{\rho}{3\lambda_r'} + \frac{2N_8\lambda_r'\alpha(1 - \rho)}{I_m}] \quad (16)$$

#### 2 试验数据

针对本工作提出的混合本构模型,对炭黑填充天然橡胶(NR)的试验数据和文献数据(Treloar数据<sup>[17,22]</sup>)两方面进行拟合验证。

#### 2.1 试验配方和数据拟合

试验配方:NR 100,炭黑 40,氧化锌 3, 硬脂酸 1,硫黄 1,促进剂CZ 1.5。制备不同拉伸模式下的试样,消除试样的Mullins效应<sup>[23]</sup>后进行测试。对于UT,PT和ET测试,均保持100%的最大应变条件,试验结果如图1所示。

利用本构模型式(14)—(16)将UT,PT和ET三 组数据同时进行拟合,得到一组共同的本构参数, 见表1。

应用Gaussian模型、3-链网络模型和8-链网络模型以相同的方法进行数据拟合,并与混合本构

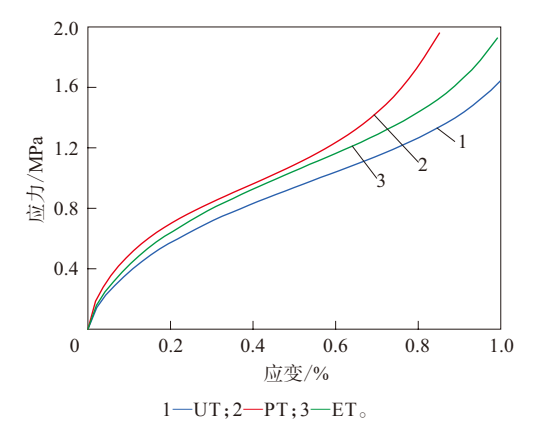


图1 单轴拉伸、平面拉伸和等双轴拉伸的试验数据

表1 不同模型在试验数据条件下的参数

模型	$\mu/\mathrm{MPa}$	$N_3/N_8$	α	b	d
Gaussian 模型	0.903 5				
3-链网络模型	0.8636	60			
8-链网络模型	0.8626	22.46			
混合本构模型	12.20	30	0.4961	0.07883	0.000 998 3
模型的拟合	效果进	行对日	۵.	•	

$$\sigma_{\rm G} = \mu (\lambda_i^2 - \lambda_j^2) \tag{17}$$

$$\sigma_{3-\text{chain}} = \frac{\mu}{3} \sqrt{N_3} \left( \lambda_i \beta_i - \lambda_j \beta_j \right) \tag{18}$$

其中

$$\beta_i = \frac{L^{-1}\lambda_i}{\sqrt{N_3}}$$

$$\sigma_{8-\text{chain}} = \frac{\mu\beta(\lambda_i^2 - \lambda_j^2)}{3\lambda_i}$$
(19)

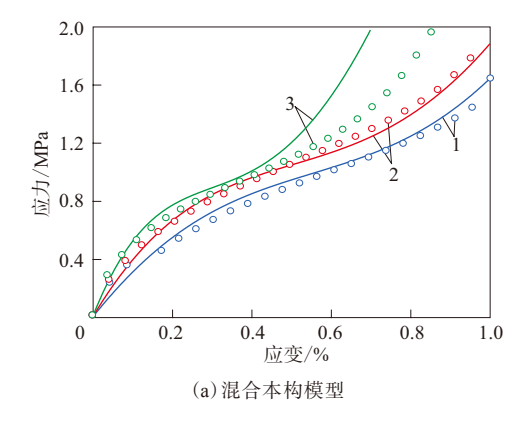
混合本构模型及其他本构模型的数据拟合结果如图2所示。由图2可见,混合本构模型的整体拟合效果较好,初步说明该模型的正确性。虽然混合本构模型对ET数据的拟合不是很理想,但是相比于其他3个模型已得到改善,且在整体的拟合效果上有了较大改进。

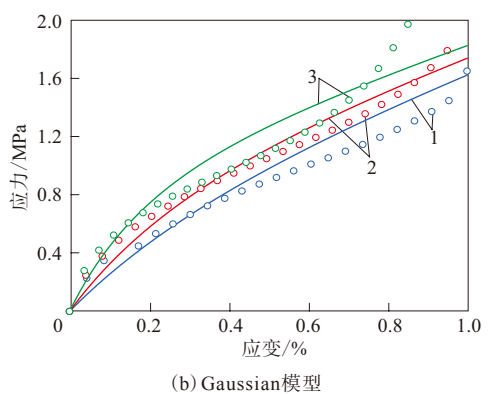
## 2.2 与Treloar 数据对比

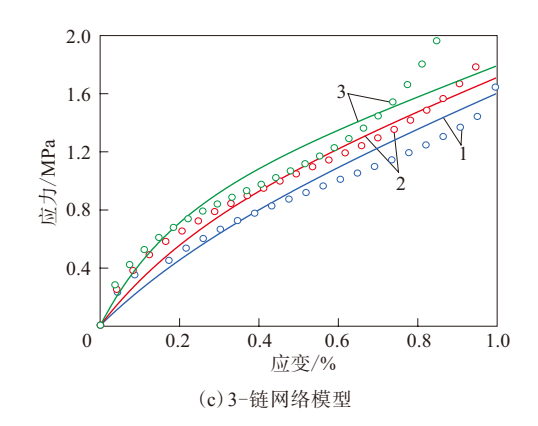
Treloar数据能够很好地表现3种拉伸方式间的关系,通常用来检验本构模型对3种拉伸方式的预测能力。为进一步检验混合本构模型的准确性,使用Treloar数据进一步验证,见图3。

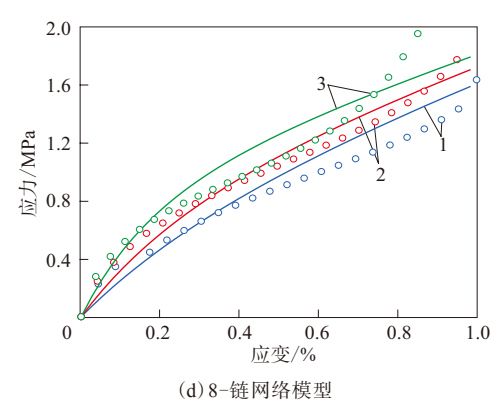
以Treloar数据为基础,采用相同方法分别使用混合本构模型、Gaussian模型、3-链网络模型和8-链网络模型进行数据拟合(见图4),得到相应的本构参数见表2。

由图4可见,混合本构模型具有较好的拟合效果,相比于其他3个模型,拟合精度大幅提高。









1-UT;2-PT;3-ET。实线为拟合数据,圈线为试验数据。

图2 4种模型的拟合数据与试验数据对比

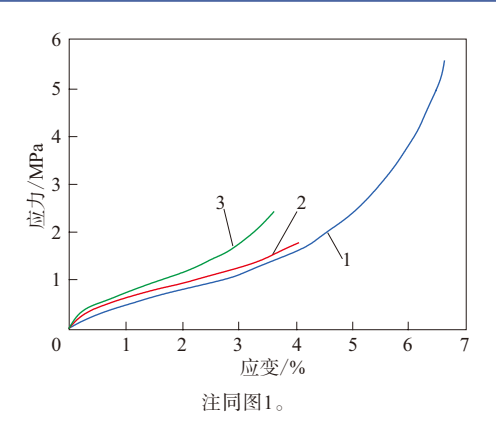


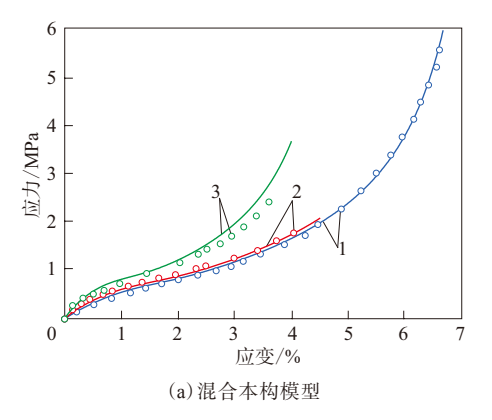
图3 Treloar数据下的单轴拉伸、平面拉伸和 等双轴拉伸曲线

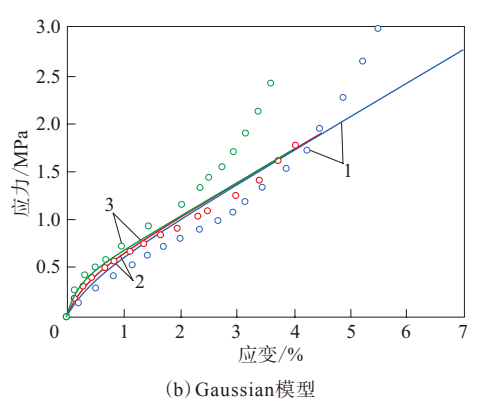
# 3 结论

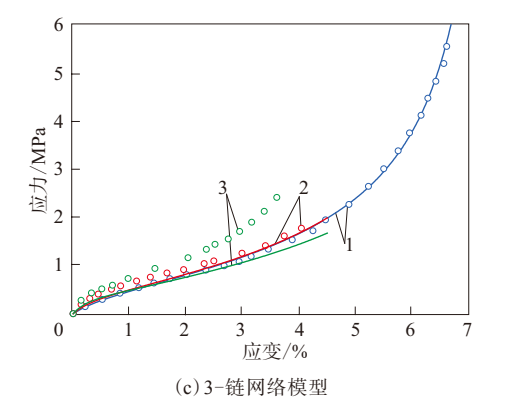
基于分子统计理论提出了一种适用于橡胶 材料的混合高弹本构模型,采用修正Gaussian模 型和修正8-链网络模型的非线性组合分别描述 Gaussian变形和非Gaussian变形部分。微观层面 上主要考察分子链密度,并将其分解为Gaussian 变形和非Gaussian变形部分,并定义了表示非 Gaussian部分所占比例的函数;宏观层面上的拉伸 比也分解为两部分,并建立了非Gaussian部分的 比例函数。由Gaussian变形和非Gaussian变形部 分的构象熵变化得到构象熵变化之和,再由构象 熵与自由能的关系,得到混合本构模型。该混合 本构模型含有5个参数  $(\mu, N_8, \alpha, b, d)$ ,通过同时对 UT,PT和ET三组数据拟合得到。通过试验数据和 文献数据(Treloar数据)的拟合对比,初步证明了 该混合本构模型的适用性。与Gaussian模型、3-链 网络模型和8-链网络模型相比,混合本构模型在精 确性方面有明显提高。

#### 参考文献:

- [1] 黄乐, 贾晓红, 郭飞, 等. 基于有限元分析方法的聚氨酯磨损规律研究[J]. 橡胶工业, 2016, 63(7): 398-402.
- [2] Boyce M C, Arruda E M. Constitutive Models of Rubber Elasticity: A Review [J]. Rubber Chemistry and Technology, 2000, 73 (3):504–523.
- [3] Mooney M. A Theory of Large Elastic Deformation[J]. Journal of Applied Physics, 1940, 11 (9):582–592.
- [4] Yeoh O H. Some Forms of the Strain Energy for Rubber[J]. Rubber Chemistry and Technology, 1993, 66 (5):754–771.
- [5] Gent A N, Thomas A G. Forms for the Stored (Strain) Energy







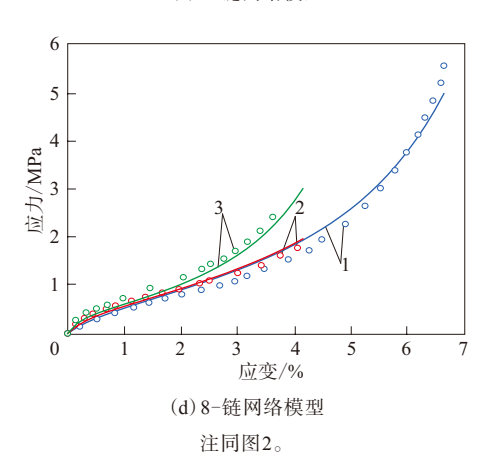


图4 4种模型的拟合数据与Treloar数据对比

表2	不同模型在Trelo	ar数据条件下的参数
70		'41 XX JU /N      H J D XX

模型	μ/MPa	$N_{3}/N_{8}$	α	b	d
Gaussian 模型	0.345 9				
3链模型	0.257 0	78.68			
8链模型	0.2547	26.18			
混合模型	0.365 1	26.14	2	0.1919	0.08

Function for Vulcanized Rubber[J]. Journal of Polymer Science, 1958, 28 (118):625–628.

- [6] Valanis K C. The Strain-energy Function of a Hyperelastic Material in Terms of the Extension Ratios[J]. Journal of Applied Physics, 1967,38 (7):2997–3002.
- [7] Ogden R W. Large Deformation Isotropic Elasticity—on the Correlation of Theory and Experiment for Incompressible Rubberlike Solids[J]. Proceedings of the Royal Society A: Mathematical, Physical and Engineering Sciences, 1972, 326 (1567):565–584.
- [8] Kim B, Lee S B, Lee J, et al. A Comparison among Neo-Hookean Model, Mooney-Rivlin Model, and Ogden Model for Chloroprene Rubber[J]. International Journal of Precision Engineering and Manufacturing, 2012, 13 (5):759-764.
- [9] Khajehsaeid H, Arghavani J, Naghdabadi R. A Hyperelastic Constitutive Model for Rubber-like Materials[J]. European Journal of Mechanics-A/Solids, 2013, 38:144-151.
- [10] Lopez-Pamies O.A New  $I_1$ -based Hyperelastic Model for Rubber Elastic Materials[J].Comptes Rendus Mécanique, 2010, 338 (1) : 3-11.
- [11] Treloar L R G. The Elasticity of a Network of Long-chain Molecules. II. [J]. Transactions of the Faraday Society, 1943, 39 (2): 241-246
- [12] James H M, Guth E. Theory of the Elastic Properties of Rubber[J]. The Journal of Chemical Physics, 1943, 11 (10):455–481.
- [13] Flory P J, Rehner J. Statistical Mechanics of Cross-Linked Polymer

- Networks I. Rubberlike Elasticity[J]. The Journal of Chemical Physics, 1943, 11 (11):512–520.
- [14] Arruda E M, Boyce M C. A Three-dimensional Constitutive Model for the Large Stretch Behavior of Rubber Elastic Materials[J].

  Journal of the Mechanics and Physics of Solids, 1993, 41 (2):389–412.
- [15] Wu P D, Van Der Giessen E. On Improved Network Models for Rubber Elasticity and Their Applications to Orientation Hardening in Glassy Polymers[J]. Journal of the Mechanics and Physics of Solids, 1993, 41 (3):427-456.
- [16] Elías-Zuniga A, Beatty M F. Constitutive Equations for Amended Non-Gaussian Network Models of Rubber Elasticity[J]. International Journal of Engineering Science, 2002, 40 (20): 2265– 2294
- [17] Treloar L R G. The Physics of Rubber Elasticity[M]. Clarendon: Oxford University Press, 1975.
- [18] 金日光. 高分子物理[M]. 北京:化学工业出版社,1991.
- [19] Cohen A. A Pade Approximant to the Inverse Langevin Function[J]. Rheologica Acta, 1991, 30 (3):270–273.
- [20] Bonet J, Wood R D. Nonlinear Continuum Mechanics for Finite Element Analysis[M]. UK: Cambridge University Press, 1997.
- [21] Li X, Wei Y. Classic Strain Energy Functions and Constitutive Tests of Rubber-Like Materials[J]. Rubber Chemistry and Technology, 2015,88(4):604-627.
- [22] Treloar L R G. Stress-strain Data for Vulcanised Rubber under Various Types of Deformation[J]. Transactions of the Faraday Society, 1944, 40:59–70.
- [23] Mullins L. Softening of Rubber by Deformation[J]. Rubber Chemistry and Technology, 1969, 42 (1):339–362.

收稿日期:2016-06-20

# Study on Hybrid Hyperelastic Constitutive Model for Rubber Material

YU Haifu, LI Fanzhu, YANG Haibo, ZHANG Liqun (Beijing University of Chemical Technology, Beijing 100029, China)

**Abstract:** Based on the molecular statistical theory, a hybrid hyperelastic constitutive model for rubber material was proposed. The modified Gaussian network model and modified 8-chain network model were used to describe Gaussian deformation part and non-Gaussian deformation part respectively. The network molecular chain densities at the micro-level and the stretch ratio at the macro-level were also decomposed into a Gaussian deformation part and a non-Gaussian deformation part. The comparison between test data and Treloar data of stress-strain under different tensile modes proved the applicability of the hybrid constitutive model. Compared with the Gaussian network model, 3-chain network model and 8-chain network model, the hybrid hyperelastic constitutive model had obvious improvements in accuracy.

**Key words**: rubber material; nonlinear; hyperelastic; statistical theory; constitutive model